

広島大学工学部 正員 門田 勉知

概要 圧密現象の解析、推定を行うには土の圧密特性を示すための圧密に関する諸常数が決定されなければならぬ。従がって、現象と同じ応力状態での圧密試験を行い、圧密諸常数を求めるのが理想的である。しかし三軸圧密試験でも、理想的な条件通り試験をすることが困難な場合が多い、又試験に要する日数も長くなり、試験技術も複雑であるなどの理由もあって、現在では試験法も簡単な側面拘束の一次元圧密試験が慣行圧密試験として行なわれている。圧密試験から与えられる時間-沈下曲線を解析して、圧密諸常数を求めている。求めるために採用されている Terzaghi の圧密理論曲線と実験曲線とは二次圧密の領域では全く異なっている。近似的に実験曲線の一次圧密部分に合する Terzaghi の理論曲線を考えて、それに合めるために土の圧密諸常数はいくらでなければならぬか、として求められている。一次圧密部だけからの η では現場の観測値との差が大き過ぎること、沈下速度が早くなっていることなどから、1440分の沈下量から η を算定すると云う、あまり根據のない簡便的な修正が試みられている。しかしもっと根本的に考えるべきであると思ひ、著者は試験によって求められた時間沈下曲線をどのように、どれだけ修正すれば Terzaghi の圧密曲線を適用して、圧密係数を求めても、その理論の確立に使用されている物理的な意味と一致させることができるかについての研究を行っている。これは石井博士を中心とし、他の多くの研究者が、実験室程度の試料厚さでは土のレオロジー的な性質は時間沈下曲線に影響を与えるが、戸厚が厚くなると Terzaghi の圧密曲線に近づくことを数式あるいは実験的に確かめている。このことへ圧密試験の時間沈下曲線の一次圧密部の沈下特性が Terzaghi の理論曲線の型と比較的よく一致するから、圧密係数は一次圧密部のみを対象に考えてもよいと言うことは根本的に意味が違う。圧密係数を正確に知るには時間沈下曲線の型だけではなく、レオロジー、側面摩擦などの影響によって時間的にいくらずれるかが問題である。レオロジー、側面摩擦の影響によって一次圧密と考えられる部分の曲線型は大きな差が認められないこと（慣行法によって一次圧密部を決定した場合）を明らかにし、時間的にずれる量が圧密係数の決定に大きな役割を演じていることを示し、さらに修正法を考究し、修正用图表を作成し、実験室において、試料厚、荷重増加率を変化させて、圧密係数を求める、修正前は 50%も差があった圧密係数が修正後 10%迄近づくことができた。一方現場の沈下解析データから圧密係数を 2 倍以上に考究の方が妥当であるような場合もあるので、数多くの圧密試験結果から瀬戸内海沿岸では一次圧密比が 60%前後が最も多く、少くとも慣行試験解析法による圧密係数は 1.3 倍以上にすべきであり、 $\eta = 40 \sim 60$ の試料では 5 ～ 6 倍にもしなければならないことが明らかとなつた。新幹線火力発電所埋立地盤の沈下解析でも圧密試験の $C_0 = 1.2 \times 10^{-3} \text{ cm}^2/\text{sec}$ に対し、現場 $C_{0f} = 6 \times 10^{-3} \text{ cm}^2/\text{sec}$ となって、約 1 倍近い。このことも当研究によって説明が出来たと思ふ。以下研究内容について順次説明する。

理論的考察 著者は側面摩擦の作用する圧密沈下曲線の特性と研究した理論式中にも荷重増加率の項を考慮したが、今まで多くのレオロジー Model の式に荷重増加の項を加味したもののが見当らなかつた。幸い LAING, BARDEN (1965) は Non-linear Kelvin element を考究して、レオロジー的性質を加

味した式に荷重増加の影響を入れていい。著者、Taylor(1942), 柴田(1963)のデータをもとにプロットした荷重増加率と圧密係数の関係図と LAING BARDEN の曲線を利用して求めた関係とが荷重増加率が3以下では比較的よく合っている。実験室で荷重増加率、試料厚さを変化させると慣行法によれば圧密係数が散らばる、しかし LAING BARDEN は CURVE FITTINGをして求められる圧密係数は 10% 程度の誤差範囲で一致している。Terzaghi が理論を構成するに当って考えた圧密係数は透水係数と体積圧縮係数の比に相当るので、慣行法のように散らばるのはおかしい。このような理由で著者は LAING BARDEN の導いた式を用いて、CURVE FITTING の方法を考えて、修正圖表を作成したのである。

LAING BARDEN の式
viscosity 効果を附加しただけである。即ち

$$\frac{\partial}{\partial z} \left(\frac{k(1+e)}{c_w} \cdot \frac{\partial u}{\partial z} \right) = \frac{\partial e}{\partial t} \quad (1)$$

圧密過程中 e と $(1+e)$ とは一定と仮定して

$$C \frac{\partial u}{\partial z} = \frac{\partial e}{\partial t} \quad C = \frac{k}{c_w} (1+e) \quad (2)$$

$de = a \cdot dp$ として Total 応力は間隙水压と有効応力、粘性抵抗とで釣合だと考え

$$\begin{aligned} \frac{e_1 - e_2}{a} &= \frac{e_1 - e}{a} + \tau + u \\ \frac{e - e_2}{a} &= \tau + u \end{aligned} \quad (3)$$

では non-linear viscosity を考慮して、(3)式に代入し

$$\tau^n = B \cdot \dot{\gamma} \quad (n > 1)$$

$$\begin{aligned} \tau &= b \left(\frac{\partial e}{\partial t} \right)^{\frac{1}{n}} \\ e - e_2 &= a \left[u + b \left(\frac{\partial e}{\partial t} \right)^{\frac{1}{n}} \right] \end{aligned} \quad (4)$$

$$(4) \text{ 式に次の関係を代入す} \quad e' = e - e_2, \quad \frac{\partial e'}{\partial t} = \frac{\partial e}{\partial t}, \quad x = z/H.$$

$$u' = u/a, \quad ap = p_2 - p_1, \quad \frac{e_1 - e}{e_1 - e_2} = \mu.$$

$$\lambda = 1 - \mu \quad (\text{圧密度})$$

(2), (4)式から

$$C \frac{\partial}{\partial z} \left[\frac{e'}{a} - b \left(\frac{\partial e'}{\partial t} \right)^{\frac{1}{n}} \right] = \frac{\partial e'}{\partial t} \quad (5)$$

となり、 ap で両辺を割り、変形して

$$\frac{\partial^2}{\partial z^2} = \left[\lambda - \left(a \cdot b^n \cdot (ap)^{n-1} \frac{\partial \lambda}{\partial t} \right)^{\frac{1}{n}} \right] = \frac{aH^2}{C} \frac{\partial \lambda}{\partial t} \quad (6)$$

$$\text{更に, } \frac{\partial \lambda}{\partial t} = \frac{aH^2}{C} \frac{\partial \lambda}{\partial t} \text{ とすれば}$$

$$T = \frac{C}{a} \frac{t}{H^2}$$

となって Terzaghi の $T = \frac{C_0}{H^2} t$ となり

$$(a \cdot b^n \cdot (ap)^{n-1} \frac{\partial \lambda}{\partial t})^{\frac{1}{n}} = \left(\frac{\partial \lambda}{\partial t} \right)^{\frac{1}{n}}$$

$$\text{とすれば } T_S = \frac{t \cdot (ap)^{n-1}}{a \cdot b^n} \quad (7)$$

となり、 T/T_S を R とおきと

$$R = \frac{T_S}{T} = \frac{cb^n}{H^2 \cdot (ap)^{n-1}} \quad (8)$$

ここで $b=0$ ならば $R=0$ となり Terzaghi は $n=1$, $b=\bar{b}$, をおけば Taylor の B 理論に至る (5)式は non-linear であり、厳密解を求めることができないので差分方程式に変形して数値解を求めるために、次のようじに連立方程式として

$$\frac{\partial u}{\partial z} = \frac{\partial \lambda}{\partial t} \quad (9)$$

$$\frac{\partial \lambda}{\partial t} = -\frac{1}{R} (\lambda - u)^n \quad (10)$$

これを解くと平均圧密度一時間曲線は図-2 のようである。即ち R を Parameter として曲線の特性が変化する。 R が 0 に近づけば、一增加荷重が大きくなるが、戸厚が大きくなれば一 Terzaghi 型になり、二次圧密部が少くなる。この反対では二次圧密が非常に大きくなる。図-2 は $n=5$ についての数値解である、LAING BARDEN は $n=10$ についても解いているが、 $n=5$ の方がよく実験値と合うようなので $n=5$ について修正図を考慮した。 n についてまだ検討中である。

曲線の特性

図-2の曲線正厅と圧密度の関係を求めて
 \sqrt{T} -解析法にならって
 勾配を1.19倍して交差を90%とし、圧密度の
 10%を新たに一次圧密終了時としてTを求め
 ると図-2の○印である。
 新たに○印を100として圧密度-T曲線

を描き、時間に無関係に
 t_{100} をもろえて、各
 曲線の特性を比較した
 のが図-3である。一次
 圧密として考えられ
 た部分はレゾロジー的
 性質では殆んど影響され
 めなく、零ら二次圧密
 部に顯著に現れてる。
 実験事実ともその特性
 が非常によく一致してい。

CURVE-FITTING 求められた実験曲線を $\log t$ -法で 100% 圧密度を求め、 t_{100}, d_{100} にして
 二次圧密部を含む最終沈下量を d_f 、その時刻を t_f とし $d_f/d_{100}, d_f/t_{100}$ を計算して図-3により
 Rを簡単に求めることができる。理論的には二次圧密部の平均勾配をもろえてRを求めることにな
 る。即ち時間軸および沈下量を無次元化して比較するのである。Rが定まれば、図-2から任意な圧
 密度に対する時間係数が求められるので、圧密係数が求められる。図-2は実際には使用しにくいで
 T_{90} と $\log R$ 曲線正厅において $T_{90}=0.848$ の代りにRに相当する T_{90} を用いよとよい。

修正図 図-4は“CURVE-FITTING”的項で述べた方法は不便であるから慣行法によって求められ
 た C_0 を補正するための補正係数を求める図である。横軸に對数でRを縦軸に(右側) d_f/d_{100} をとると
 t_f/t_{100} の一つの値に対して一つの曲線が求められる。このようにして t_f/t_{100} を parameter として一群の曲線群が
 えられる。遂に d_f/d_{100} と t_f/t_{100} から一つのRが決定される。 $T_{90}/0.848$ はRに1:1の対応であるから、比の
 値を補正係数として縦軸左側に目盛りし-R曲線が③の線である。 m_w の修正につけてもRと t_f/t_{100}
 によって定まるのでβとして修正図を作成した。圧密沈下曲線から $\log t$ -法により t_{100}, t_{90} を求め、
 $t_{90}/t_{100}, d_f/d_{100}$ を求めて図-4の矢印①②③④⑤⑥と進めば④と⑥により圧密係数、^{体積}圧縮率の補
 正係数α、βが容易に求められる。ほぼ修正図ではこのような理論の上に側面摩擦の影響を加味し

図-2

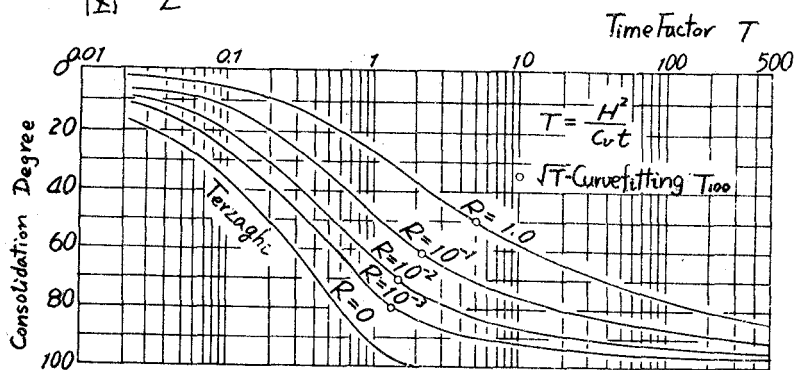
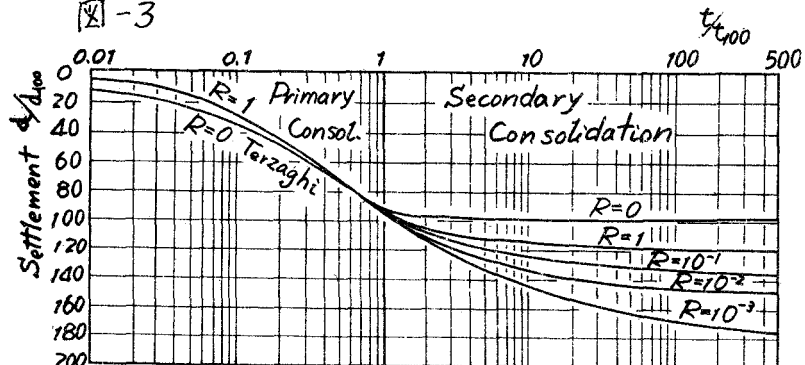


図-3



r_p' 目盛を 10%ずらしている。全く経験的に修正を施していいので、これらの意味について今後研究を続ける予定である。先述した通り 10%の修正により、側面摩擦の影響も含めて荷重増加率が 3 以下の H/R (試料高さ/試料半径) の値が 2 位なものまで修正出来、同一試料、同一荷重では C_v の値が 10%以下の誤差以内で修正出来たことは實に興味深いことである。

参考文献 LAING BARDEN: Consolidation of Clay with Non-linear Viscosity, Geotechnique, 15-4 1965 365-369 pp.

図-4

